УДК 533.9

# ГЕНЕРАЦИИЯ АКУСТИЧЕСКИХ КОЛЕБАНИЙ В НИЗКОТЕМПЕРАТУРНОЙ ГАЗОРАЗРЯДНОЙ ПЛАЗМЕ

### К.П. АРОЯН

Институт прикладных проблем физики НАН Армении

(Поступила в редакцию 11 марта 2005 г.)

Представлена новая схема генерации акустических колебаний в тлеющем разряде низкого давления при синусоидально модулированном токе разряда на основе электрон-атомных столкновений. Приведены экспериментально полученные зависимости генерированного акустического давления от параметров разряда для следующих газов и газовых смесей: He,  $N_2$ ,  $CO_2$ ,  $He:N_2=1:1$ ,  $He:CO_2=1:1$ ,  $N_2:CO_2=1:1$ . Получено, что генерированное удельное акустическое давление может принимать значения 3–22 Pa/A Тогг в зависимости от состава газа и параметров эксперимента.

Возможность возбуждения акустических колебаний в газе, в том числе в плазме, за счет термодинамических процессов была предсказана Рэлеем [1]. При возбуждении разряда только постоянным или только переменным токами возбуждение акустических колебаний описывается через механизмы упругих электрон-атомных столкновений и связано с объемным тепловыделением, зависящим от плотности заряженных частиц, или с отрицательной вязкостью [2,3]. В [4] указано, что полученные согласно такому описанию расчетные результаты не совпадают с экспериментальными и предлагается учитывать также неупругие столкновения. Полученные нами в [5] экспериментальные результаты по генерации звука в плазме СО<sub>2</sub>-лазера, возбуждаемой током, содержащим постоянную и переменную компоненты, дали значения, отличающиеся от расчетных согласно [2-4]. Предлагаемая схема генерации акустических колебаний также опирается на упругие столкновения частиц, составляющих плазму, но описывается без использования объемного тепловыделения.

В нашей схеме через разрядную трубку проходил синусоидально-модулированный ток, содержащий постоянную и переменную компоненты. Кварцевая цилиндрическая разрядная трубка, использовавшаяся в эксеперименте, имела внутренний диаметр 25 мм и длину 500 мм. На концах трубки были вставлены звукопоглотители с коэффициентом отражения волны давления < 0,2, которые обеспечивали режим в трубке, близкий к бегущей волне. Поскольку диаметр трубки (25 мм) намного меньше длины трубки и длины звуковой волны, то можно считать, что в разрядной трубке формируется плоская бегущая волна.

Модуляция тока разряда производилась на частотах собственных акустических резонансов и антирезонансов трубки  $f_R = mV_s/2L$ ;  $f_{AR} = (2\ m-1)V_s/4L$ , где  $f_R$  и  $f_{AR}$  — собственные резонансные и антирезонансные акустические частоты трубки,  $V_s$  — скорость звука в данном газе, которая измерялась отдельно, L — длина трубки, m=1,2,3 … — номер гармоники.

Эксперименты проходили следующим образом. В разрядной трубке при данном давлении и типе газа создавался разряд при помощи постоянной составляющей тока разряда. Далее устанавливался режим модулированного тока (тока, содержащего постоянную и переменную компоненты) с определенной частотой и амплитудой, вследствие чего в трубке генерировались акустические колебания такой же частоты. Эти колебания фиксировались микрофоном и спектроанализатором.

Меняя частоту и амплитуду переменной компоненты тока разряда ( $I_{-}$ ) и настройку спектроанализатора, для данных давления газа в трубке ( $P_{0}$ ) и постоянной составляющей тока разряда ( $I_{0}$ ) можно было снять весь спектр давлений ( $P_{s}$ ) акустической волны, генерированной в разряде данного газа.

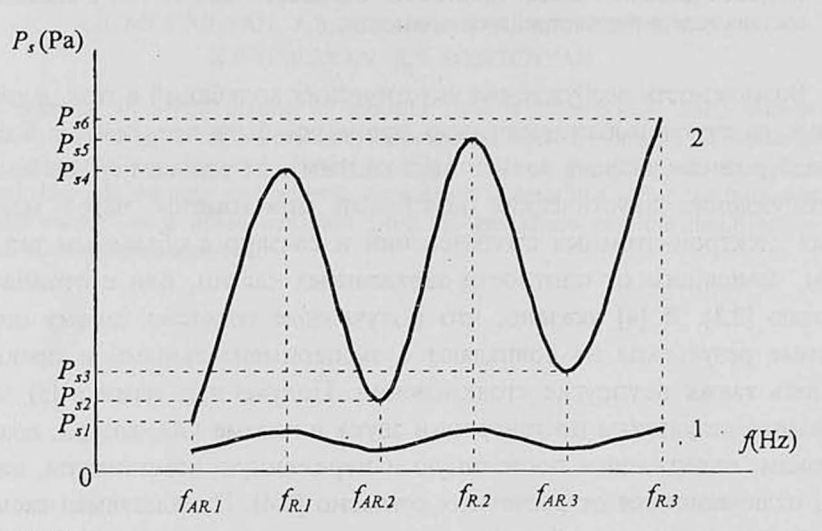


Рис.1. Зависимость величины генерированного акустического давления от частоты акустического сигнала при фиксированных постоянной и переменной составляющих тока разряда. Кривая 1 соответствует давлению газа в трубке  $P_{0.1}$ , а кривая 2 – давлению  $P_{0.2}$ .  $P_{0.2} > P_{0.1}$ .

На рис.1 приведена зависимость величины акустического давления, генерируемого в разрядной трубке, от частоты модуляции (f) при двух разных давлениях газа в трубке. Здесь  $f_{R,l}-f_{R,3}$  — частоты первых трех акустических резонансов, а  $f_{R,l}-f_{R,3}$  — частоты антирезонансов. Отметим, что приведенная зависимость универсальна и наблюдалась для всех исследованных газов.

Из рис.1 видно, что максимальные значения генерированного акусти-

ческого давления соответствуют резонансным, а минимальные значения — антирезонансным собственным акустическим частотам резонатора. В зависимости от типа и состава газа приведенные на рис.1 характеристики смещаются по осям, сохраняя вид. При фиксированных переменной и постоянной компонентах тока разряда, с повышением давления газа в трубке  $(P_{0.2} > P_{0.1})$  генерированное акустическое давление  $(P_s)$  возрастает, причем прямо пропорционально  $P_0$ . С повышением частоты модуляции, т.е на более высоких резонансных и антирезонансных акустических частотах трубки величина генерированного акустического давления повышается:  $P_{s3} > P_{s2} > P_{s1}, P_{s6}$   $P_{s5} > P_{s4}$ . Отметим, что приведенные результаты получены в разряде чистых газов Не,  $N_2$ ,  $CO_2$  и бинарных смесей  $He:N_2=1:1$ ,  $CO_2:N_2=1:1$  и  $He:CO_2=1:1$  при давлениях  $P_0$  от 0.1 Тогг до 100 Тогг, постоянной составляющей тока разряда  $I_0$  от 5 mA до 30 mA и переменной составляющей тока разряда  $I_0$  от 1 mA до 15 mA.

В табл.1 для разных давлений газа в разрядной трубке приведены значения удельных акустических давлений ( $P_s'$ ), генерируемых в разряде Не,  $N_2$  и  $CO_2$  на соответствующих частотах первых акустических резонансов. Акустическое давление измеряется в Па; переменная компонента разрядного тока — А; давление газа в разрядной трубке — Тогг. Таким образом, с повышением давления газа в трубке удельное акустическое давление  $P_s'$  незначительно падает, но генерированное акустическое давление  $P_s$  растет.

Табл.1. Удельные акустические давления, генерируемые в плазме.

| P <sub>0</sub> [Torr] | газ<br><i>P</i> <sub>s</sub> '[Ра / А·Тогг] |     |     |
|-----------------------|---|-----|-----|
|                       |   |     |     |
|                       | 6   | 6.5 | 5.5 |
| 12                    | 5.5   | 4.2 | 14  |
| 25                    | 4   | 3.3 | 12  |
| 50                    | 3.7   | 3   | 6   |
| 100                   | 2.4   | 2.5 | 3.6 |

На рис.2 для тех же газов и их бинарных смесей представлены зависимости величины генерированного акустического давления от амплитуды переменной компоненты тока разряда. Видно, что давление генерированного в разряде акустического сигнала при данной постоянной составляющей тока разряда линейно зависит от переменной составляющей тока. С повышением частоты модуляции, точнее, на более высоких резонансных и антирезонансных частотах кривая зависимости меняет угол наклона. При отсутствии переменной компоненты тока разряда (L=0) все кривые стремятся к нулю, что и следовало ожидать.

Анализ экспериментальных данных для чистых газов и их смесей показал, что акустическое давление в смеси молекулярных газов равно сумме генерированных давлений в каждой из компонент по отдельности при тех же условиях:  $P_{s,R(m)}$ (мол.газ.1) +  $P_{s,R(m)}$ (мол.газ.2) =  $P_{s,R(m)}$ (мол.газ.1: мол.газ.2 = 1:1), где

m – номер резонанса,  $P_{sR(m)}$  – акустическое давление на частоте m-го резонанса.

В случае смеси молекулярного и атомарного газов такая закономерность не наблюдается. Представленные на рис.1 и 2 результаты справедливы для всех исследованных газов и газовых смесей в отмеченных интервалах частот модуляции, величин переменной и постояной составляющих тока разряда и давлений газа в трубке.

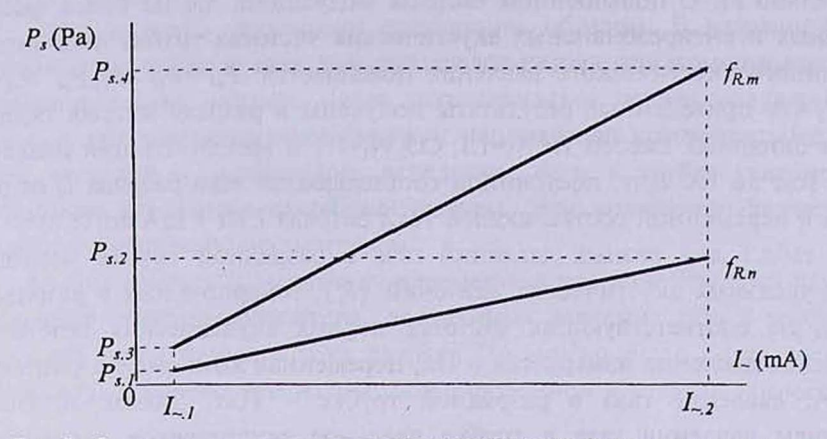


Рис. 2. Зависимость величины генерированного акустического давления от переменной составляющей тока разряда при данном постоянном токе при разных частотах модуляции.  $f_{R,m} > f_{R,n}$ .

Рассмотрим процессы в положительном столбе разряда в каком-либо сечении трубки. Плотность тока в сечении трубки дается выражением  $J_e = en_e V_e$ , где  $J_e$  – плотность электронной компоненты тока,  $n_e$  – концентрация электронов и  $V_e$  - скорость электронов. Поскольку скорость ионов намного меньше скорости электронов, то весь ток обусловлен электронами. До частот модуляции в несколько десятков Гц основной механизм модуляции - генерация новых носителей, т.е изменение концентрации электронов п.. На частотах модуляции выше 1кГц п, уже практически не меняется в течение периода модуляции [6]. В этих условиях модуляция тока может быть обусловлена только изменением скорости электронов и можно говорить об изменении значений функции распределения электронов по энергиям. Но изменение этой функции приводит к изменению импульса электронов, который они при столкновениях передают ионам и нейтральным частицам. В результате весь газ в трубке получает дополнительный импульс, который меняется с частотой модуляции. Этот дополнительный импульс можно интерпретировать как избыточное давление - акустическое давление. Оно приблизительно в 103-105 раз меньше давления в разрядной трубке и зависит от условий эксперимента и вида газа.

Давление газа в трубке определяется как  $P_0=n_0kT_0$ , где  $n_0$  – концентрация частиц в трубке, k – постоянная Больцмана,  $T_0$  – температура газа. Генерируемое акустическое давление  $P_s=(10^{-5}-10^{-3})P_0$ . В акустических колебаниях

участвуют все частицы газа, энергия акустических колебаний одной частицы приблизительно  $(10^{-5}-10^{-3})kT_0$ . Свою энергию, равную  $kT_e$  ( $T_e$  – электронная температура), при многократных упругих столкновениях электроны передают атомам или молекулам. При модуляции тока разряда средняя энергия электронов изменяется на  $(10^{-4}-10^{-2})kT_e$ . При упругом столкновении именно это изменение энергии приводит к небольшой модуляции давления в разрядной трубке – к возникновению акустических волн.

Таким образом, механизм генерации акустических колебаний в плазме взаимосвязан с упругими столкновениями составных частей плазмы (ионы, нейтральные частицы, электроны).

Автор выражает глубокую благодарность акад. А.Р.Мкртчяну и к.ф.м.н. А.С.Абраамяну за помощь в работе. Работа выполнена при частичной поддержке гранта МНТЦ А-96 и республиканского гранта 1367.

## ЛИТЕРАТУРА

- 1. Дж.В.Стретт (Лорд Рэлей). Теория звука. М., Гостехиздат, 1955.
- 2. А.И.Осипов, А.В.Уваров. УФН, 162, 1 (1992).
- 3. Г.А.Галечян. УФН, 165, 1357 (1995).
- 4. М.К.Мусаханян Диссертация к.ф.-м.н. Ереван, 2004.
- А.Р.Мкртчян, А.С.Абраамян, К.П.Ароян, Р.Б.Костанян, К.С.Мкртчян. Труды Конф. ФНТП-2004, 28июня-03июля 2004г. Петрозаводск, Карелия, т.1, с.172.
- 6. А.С. Федоренко. Диссертация к.т.н. М., 1980.

## ՀՄՃՎՏՍԼՄՍԳՋԱՂԾՄՑ ՊՍՎՈՑՄՂԺԵՐԻ ԳԵՆԵՐԱԶԵՐՄԱՆԻ ԱՎՈՑՄՄՋՄԼՄ ՎԳԵՄՄՎՈՐՊԱՐԱՄԶՄՔ

#### **Կ.Պ. ՀԱՐՈՅԱՆ**

Ներկայացված է ցածր ճնշման մարմրող պարպման մեջ, պարպման հոսանքի սինուսոիդալ մողուլացիայի ժամանակ ձայնային ալիքների գեներացման նոր սխեման հիմնված էլեկտրոն — ատոմային բախումների վրա։ Բերված են փորձնականորեն ստացված կախվածություններ՝ գեներացված ակուստիկ ճնշման և պարպման պարամետրերի միջև հետևյալ գազերի և գազային խառնուրդների համար. He,  $N_2$ ,  $CO_2$ ,  $He:N_2=1:1$ ,  $He:CO_2=1:1$ ,  $N_2:CO_2=1:1$ : Uտացված է, որ գեներացված տեսակարար ակուստիկ ճնշումը կարող է ընդունել 3-22  $Pa/A\cdot Torr$  արժեքներ՝ կախված գազի բաղադրությունից և փորձի պարամետրերից։

## ACOUSTIC VIBRATION GENERATION IN A LOW-TEMPERATURE GAS-DISCHARGE PLASMA

#### K.P. HAROYAN

A new scheme of the acoustic vibration generation in a low-pressure glow discharge under a sinus-modulated discharge current by means of electron-atom collisions is presented. Experimentally obtained dependences of the generated acoustic pressure on discharge parameters of the gases He,  $N_2$ ,  $CO_2$  and binary mixtures  $He:N_2=1:1$ ,  $He:CO_2=1:1$ ,  $N_2:CO_2=1:1$  are presented. The generated specific acoustic pressure can gain values 3-22 Pa/A·Torr depending on the gas composition and experimental parameters.